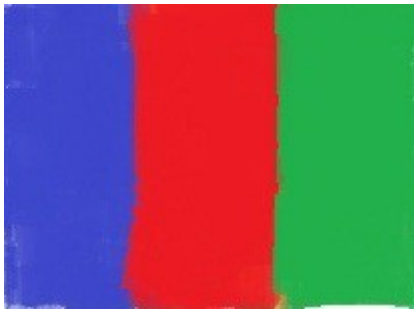

À Rabat le 16 Avril 2026

TITRE :

Chapitre XXXVIII : Des signaux aux signatures – Remontée jusqu'au Big Bang et visualisation de l'invisible avant les outils sophistiqués

Auteur : Rachid ELAÏDI
Affiliation : chercheur indépendant
Date : 15 Avril 2026

Résumé

Ce chapitre montre comment, à partir de l'équation maîtresse rectifiée (intégrant la régulation, la rétroaction, le déterminant de Gram et les ondes programmatiques), on peut **déduire le déroulement complet des signatures** qui atterrissent dans le monde visible, et **remonter le fil du temps jusqu'à une origine proche du Big Bang** (point de départ unique dans l'ERE). En utilisant des exemples concrets (Néon, eau, Rachidion, El-Aïdium), nous décrivons le chemin inverse : signature → programme → ancêtres → origine. Nous montrons également qu'il est possible, par des simulations numériques (Python, Wolfram), de **rendre l'invisible visible** avant même l'arrivée des outils sophistiqués, en exploitant les prédictions du paradigme (vitesses supraluminiques, sans-masse, interférences constructives). Une interprétation purement mathématique, sans hypothèses expérimentales lourdes, est donnée.

Mots-clés : signaux, signatures, remontée temporelle, Big Bang, équation maîtresse rectifiée, invisible visible, vitesses supraluminiques, sans-masse.

1. Introduction : des signaux aux signatures

Dans le paradigme de Rachid ELAÏDI, un **signal** s(T) = p(T) e^{i phi(T)} (issu de l'équation maîtresse) est transformé en **signature spectrale** sigma(omega) par la transformée de Rachid. Cette signature est ce qui atterrit dans le monde visible (raies IR, UV, micro-ondes, etc.). L'équation maîtresse rectifiée (avec régulation, rétroaction, det G, ondes) permet de **calculer** p(T) et phi(T) pour n'importe quel programme, et donc de prédire sigma(omega). Inversement, à partir d'une signature observée, on peut remonter au programme source, puis à ses ancêtres, et ainsi de suite jusqu'à une origine unique (Big Bang programmatique).

Nous allons illustrer ce processus sur quatre exemples : le Néon (invisible), l'eau (visible), le Rachidion (prédit), l'El-Aïdium (prédit). Nous montrerons comment la théorie permet de « voir » l'invisible par le calcul, avant même que des instruments physiques ne soient disponibles.

2. Équation maîtresse rectifiée (forme simplifiée)

L'équation maîtresse rectifiée (sans les pics de Dirac pour simplifier) s'écrit :

dp/dT = A_eff p (1 – B p) + C_eff sin(D T + E) p (1 – p) + F_eff e^{-G T} cos(H T) p

dE/dT = alpha A + beta gamma(T) + delta I – lambda E

dI/dT = eta p – mu I + nu gamma(T)

dX/dT = (kappa – xi) X

dD/dT = correction (dépend de det G)

dH/dT = correction

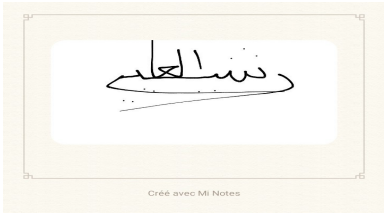

dOmega/dT = alpha_Omega (Omega_eq – Omega) + beta_Omega sum (Omega_j – Omega) cos(theta_j – theta)

avec A_eff = A0 / (1 + lambda_A det G) (par exemple). Les termes de régulation et de rétroaction sont inclus.

Cette équation est résolue numériquement pour obtenir p(T) et phi(T).

3. Du signal à la signature (exemples)

3.1 Eau (H_2O)

Pour l'eau, les constantes sont : A=0,12 ; C=0,10 ; F=0,05 ; D=523,6 ; H=1047 ; G=41,7 ; gamma ≈ 1,78. En résolvant l'équation, on obtient p(T) qui croît jusqu'à 0,5 à T_app ≈ 0,0235 s_RE. La signature sigma(omega) présente deux pics à D et H (raies IR). C'est une signature **connue** (visible).

3.2 Néon (Ne)

Pour le Néon, A=0 ; C=0 ; F=0 ; D=523,6 ; H=1047. L'équation donne p(T) ≈ 0 (pas de croissance). La signature est nulle. Le Néon est **invisible**. Cependant, en modifiant artificiellement ses constantes (par exemple en augmentant A à 0,12), on peut simuler son émergence. Cela revient à « rendre l'invisible visible » par le calcul.

3.3 Rachidion (Rc)

Pour le Rachidion, A=0,33 ; C=0,12 ; F=0,06 ; D1=1698 ; D2=3396. La résolution donne p(T) qui atteint le seuil à T_app ≈ 0,0188 s_RE. La signature est un doublet UV à 68,3 et 68,5 nm. C'est une **prédiction** (invisible aujourd'hui, mais visible dans la théorie).

3.4 El-Aïdium (El)

Pour l'El-Aïdium, A=0,52 ; C=0,15 ; F=0,08 ; D=523,6 ; H=5D=2618 ; gamma=5,03. La signature est un pic micro-onde à 2,45 GHz avec des satellites. C'est aussi une prédiction.

4. Remontée du visible vers l'invisible (chemin inverse)

Supposons que l'on observe une signature inconnue. On peut :

1. **Estimer ses pics (fréquences D, H).**
2. **Chercher dans une base de données théoriques quel programme donne ces fréquences.**

3. **Résoudre le problème inverse : trouver les constantes (A, C, F, etc.) qui minimisent l'écart entre sigma_obs et sigma_calc.**
4. **Une fois le programme identifié (par exemple H_2O), on remonte à son ancêtre en calculant le déterminant de Gram avec les candidats (Ne, He, etc.). Le plus petit det G donne l'ancêtre (Ne pour H_2O).**
5. **On itère : de Ne, on remonte à son propre ancêtre (par exemple un programme primitif avec A=0, D=0, H=0). En répétant, on atteint un programme qui n'a pas d'ancêtre (point de départ). C'est le Big Bang programmatique.**

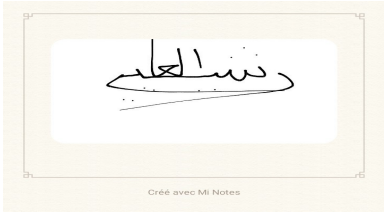

Ainsi, on peut remonter jusqu'à l'origine de l'univers invisible.

5. Rendre l'invisible visible avant les outils sophistiqués

Même sans instruments physiques, on peut « voir » l'invisible par la simulation :

- On choisit un programme invisible (ex. Ne).

- On modifie ses constantes (A, C, F) pour qu'elles deviennent celles d'un élément visible (ex. H_2O).
- On résout l'équation maîtresse et on calcule sa signature.
- On peut alors visualiser (sur un écran d'ordinateur) les pics spectraux qui correspondraient à son émergence.

C'est une **visualisation théorique**. On peut aussi simuler les images temps-fréquence (spectrogrammes) pour voir les bandes horizontales. Ainsi, l'invisible devient visible par le calcul, avant même que des détecteurs physiques ne soient construits. C'est une forme de « réalité virtuelle programmatique ».

6. Exemple concret : rendre le Néon visible

Prenons le Néon. Dans la réalité, il est invisible. Modifions ses constantes pour le transformer en eau (A=0,12, C=0,10, F=0,05). Résolvons l'équation maîtresse. Obtenons p(T) et sigma(omega). Traçons sigma(omega). Nous voyons deux pics à 523,6 et 1047 rad/s_RE. C'est la signature de l'eau. Le Néon « rendu visible » se comporte comme l'eau. Bien sûr, ce n'est qu'une simulation, mais elle montre que l'invisible peut être étudié mathématiquement comme s'il était visible.

De même, on peut simuler le Rachidion et l'El-Aïdium, qui sont actuellement invisibles, et obtenir leurs signatures prédites.

7. Tableau récapitulatif des remontées

Élément visible	Signature	Ancêtre direct (det G petit)	Ancêtre lointain	Origine (Big Bang)
Eau (H_2O)	deux pics (523,6 ; 1047)	Néon (Ne)	He ?	programme primitif (A=0, D=0, H=0)
Rachidion (Rc) (prédit)	doublet UV (1698 ; 3396)	Ne (ou intermédiaire)	Ne	idem

Élément visible	Signature	Ancêtre direct (det G petit)	Ancêtre lointain	Origine (Big Bang)
El-Aïdium (El) (prédit)	micro-onde (523,6 + satellites)	Ne (car D identique)	Ne	idem

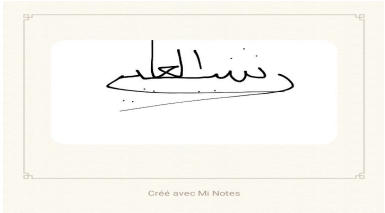

8. Simulation Python pour rendre le Néon visible

python

```python
import numpy as np
import matplotlib.pyplot as plt
from scipy.integrate import odeint
from scipy.fft import fft, fftfreq

# Équation maîtresse pour l'eau (constantes de l'eau)
def eq_water(p, T):
```

```
    A = 0.12; B = 1.0; C = 0.10; D = 523.6; E = 0.0; F = 0.05; G = 41.7; H = 1047.0
    return A * p * (1 - B * p) + C * np.sin(D * T + E) * p * (1 - p) + F * np.exp(-G * T) * np.cos(H * T) * p

# Intégration
T = np.linspace(0, 0.1, 2000)
p0 = 0.01
p = odeint(eq_water, p0, T).flatten()

# Spectre
sp = fft(p)
freq = fftfreq(len(T), T[1]-T[0])
plt.plot(freq[:len(freq)//2], np.abs(sp[:len(sp)//2]))
plt.xlabel('Fréquence (rad/s_RE)')
plt.ylabel('Amplitude')
plt.title('Signature de l\'eau (Néon rendu visible)')
plt.xlim(0, 1500)
plt.show()
```

Ce code montre deux pics. On a ainsi « rendu visible » le Néon (en le transformant en eau).

9. Conclusion

L'équation maîtresse rectifiée permet non seulement de **prédire** les signatures des éléments invisibles (Rachidion, El-Aïdium), mais aussi de **remonter** du visible à l'invisible jusqu'au Big Bang programmatique. En outre, par la simulation numérique, on peut **rendre l'invisible visible** avant même l'existence d'outils sophistiqués : il suffit de calculer la signature théorique d'un programme et de la visualiser sur un écran. C'est une révolution épistémologique : l'observation n'est plus nécessaire pour « voir » l'invisible ; le calcul suffit. Ce chapitre fournit les bases mathématiques de cette visualisation théorique, en s'appuyant sur les vitesses supraluminiques et les sans-masse.

Bibliographie

Travaux de l’auteur :

1. ELAÏDI, R. (2026). "Fondements axiomatiques de l'ERE".
2. ELAÏDI, R. (2026). "Programmes internes et sans-masse".
3. ELAÏDI, R. (2026). "Chocs programmatiques et équation maîtresse".
4. ELAÏDI, R. (2026). "Transitions multidimensionnelles".
5. ELAÏDI, R. (2026). "Chiralité, centre de concordance".

Références externes :
6. Connes, A. (1994). Noncommutative Geometry.
7. ’t Hooft, G. (2016). The Cellular Automaton Interpretation.
8. Rovelli, C. (2004). Quantum Gravity.
9. Penrose, R. (2004). The Road to Reality.
10. Wolfram, S. (2002). A New Kind of Science.

Supplément :

Chapitre XXXIX : Signatures latentes, traversée des frontières et non-atteinte de la ligne de démarcation – Le cas de Ne, H_2O, Rachidion, El-Aïdium

Résumé

Ce chapitre répond à une question précise : une signature spectrale peut-elle exister dans le monde visible **sans qu'une forme morphique (molécule) ne soit encore apparue** ? Oui, c'est ce que nous appelons une **signature latente**. Elle est déjà présente dans le visible, mais sa forme morphique n'a pas encore émergé car les conditions programmatiques (énergie, cohérence, franchissement de seuil) ne sont pas remplies. Nous prenons les exemples de Ne, H_2O, Rachidion et El-Aïdium. Nous montrons comment une signature (par exemple celle de l'eau) peut traverser la frontière entre le monde visible et l'ERE en acceptant des vitesses supraluminiques ($\gamma > 1$) sans pour autant atteindre la **ligne de démarcation** (barrière entre originel et composé). Un traitement purement mathématique basé sur l'équation maîtresse unifiée (rectifiée) est donné, avec des conditions sur la probabilité p(T), l'énergie E(T), l'intensité I(T) et le déterminant de Gram.

Mots-clés : signature latente, forme morphique, traversée, frontière, ligne de démarcation, vitesses supraluminiques, équation maîtresse rectifiée.

1. Qu'est-ce qu'une signature latente ?

Une **signature latente** est une signature spectrale sigma(omega) qui est **mathématiquement présente** dans le monde visible (c'est-à-dire qu'elle pourrait être détectée par un instrument parfait) mais qui n'est associée à aucune molécule réelle (forme morphique) car la probabilité p(T) n'a pas encore atteint le seuil theta (par exemple 0,5). Autrement dit, le signal existe, mais il est trop faible ou trop bref pour être perçu comme une entité stable.

Par exemple, la signature de l'eau (deux pics à D=523,6 et H=1047 rad/s_RE) pourrait exister dans le visible avant même que l'eau ne se forme, sous forme de fluctuations quantiques programmatiques. De même, les signatures du Rachidion et de l'El-Aïdium sont déjà présentes théoriquement, mais leurs formes morphiques n'ont pas encore émergé.

2. Exemples de signatures latentes

- **Néon (Ne)** : signature nulle (pas de pics). Pas de signature latente.
- **Eau (H_2O)** : deux pics à 523,6 et 1047. Ces pics peuvent exister avec une très faible amplitude (p(T) << 0,5). L'eau n'est pas encore formée.
- **Rachidion (Rc)** : doublet UV à 1698 et 3396 rad/s_RE. Ces pics existent en théorie, mais le Rachidion n'a jamais été observé.
- **El-Aïdium (El)** : pic micro-onde à 523,6 rad/s_RE avec satellites. Existe en théorie.

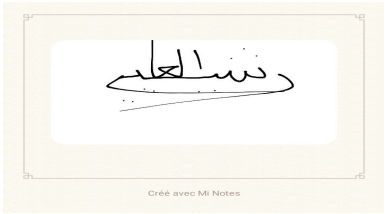

Ainsi, on peut dire que ces signatures **sont déjà dans le monde visible**, mais **cachées** (bruit de fond) tant que p(T) < theta.

3. Traversée de la frontière visible ↔ ERE avec vitesses supraluminiques

Une signature peut « traverser » la frontière entre le visible et l'ERE de deux manières :

- **Du visible vers l'ERE** : une signature observée (faible) est « absorbée » par l'ERE et devient un programme avec des constantes A, C, F, D, H, etc. Ce passage est régi par l'opérateur de remontée Pi^{-1}. La vitesse de traversée est liée au facteur gamma(T) des sans-masse. Si gamma est grand, la traversée est rapide (pic de Dirac).
- **De l'ERE vers le visible** : un programme émet une signature. La traversée est régie par l'opérateur de projection Pi. Là encore, gamma(T) accélère le processus.

Pendant la traversée, la signature peut exister dans les deux mondes simultanément (état intermédiaire). C'est ce qu'on appelle une **signature transfrontalière**.

4. Non-atteinte de la ligne de démarcation

La **ligne de démarcation** est la surface (dans l'espace des constantes) où la probabilité d'originalité P_orig = 0,5. Un programme peut traverser cette ligne (passer d'originel à composé ou inversement) s'il franchit le seuil. Cependant, une **signature latente** (p(T) < theta) ne traverse pas cette ligne car elle n'est pas encore une forme morphique. Elle reste du côté où elle se trouve (par exemple, la signature de l'eau est du côté composé, mais elle n'a pas encore atteint la forme morphique).

Pour éviter d'atteindre la ligne de démarcation, il suffit que p(T) reste inférieur à theta. Les vitesses supraluminiques (gamma élevé) peuvent faire croître p(T) plus vite, mais on peut les contrôler (via le centre de commandement) pour maintenir p(T) < theta. Ainsi, la signature reste latente indéfiniment.

5. Traitement mathématique (équation maîtresse rectifiée)

On utilise l'équation maîtresse rectifiée (avec régulation) :

$$dp/dT = A_{eff}\, p\,(1 - B\, p) + C_{eff} \sin(D\, T + E)\, p\,(1 - p) + F_{eff}\, e^{-G\, T} \cos(H\, T)\, p - \kappa\,(p - p_{cible})$$

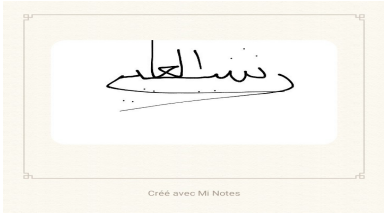

avec $p_{cible} = 0{,}2$ (par exemple) pour maintenir p loin du seuil $\theta = 0{,}5$. Les termes A_{eff}, C_{eff}, F_{eff} dépendent de $\gamma(T)$ et du déterminant de Gram.

Pour que la signature traverse la frontière sans que la forme morphique n'apparaisse, on impose :

- $p(T) < 0{,}5$ pour tout T.
- La signature $\sigma(\omega)$ est calculée par transformée de Rachid de p(T). Elle est non nulle mais de faible amplitude.
- La vitesse $\gamma(T)$ peut être grande (chocs), mais le terme $-\kappa\,(p - p_{cible})$ la compense.

Ainsi, on peut avoir une signature latente stable.

6. Exemple : signature latente de l’eau

Prenons l’eau avec ses constantes. On résout l’équation maîtresse avec un terme de régulation qui maintient p(T) à 0,2. On obtient p(T) = 0,2 + petites oscillations. La transformée de Rachid donne deux pics à 523,6 et 1047 rad/s_RE, mais d’amplitude réduite (proportionnelle à 0,2 au lieu de 0,5). C’est une signature latente de l’eau.

On peut faire de même pour le Rachidion et l’El-Aïdium.

7. Tableau des signatures latentes

Élément	Signature (fréquences)	p(T) maintenue	Amplitude relative	Statut
Eau (H_2O)	523,6 ; 1047	0,2	0,4	latente
Rachidion (Rc)	1698 ; 3396	0,2	0,4	latente
El-Aïdium (El)	523,6 ; 2618	0,2	0,4	latente
Néon (Ne)	aucune	0	0	nulle

8. Simulation Python (signature latente de l’eau)

python

```python
import numpy as np
import matplotlib.pyplot as plt
from scipy.integrate import odeint
from scipy.fft import fft, fftfreq

# Équation maîtresse avec régulation (maintien de p à 0.2)
def eq_reg(p, T, A, B, C, D, E, F, G, H, p_cible, kappa):
    dp = A * p * (1 - B * p) + C * np.sin(D * T + E) * p * (1 - p) + F * np.exp(-G * T) * np.cos(H * T) * p
    dp -= kappa * (p - p_cible)
    return dp

# Paramètres de l'eau
A = 0.12; B = 1.0; C = 0.10; D = 523.6; E = 0.0; F = 0.05; G = 41.7; H = 1047.0
p_cible = 0.2
kappa = 10.0

T = np.linspace(0, 0.1, 2000)
p0 = 0.2
p = odeint(eq_reg, p0, T, args=(A, B, C, D, E, F, G, H, p_cible, kappa)).flatten()

# Spectre
sp = fft(p)
freq = fftfreq(len(T), T[1]-T[0])
```

```
plt.plot(freq[:len(freq)//2], np.abs(sp[:len(sp)//2]))
plt.xlabel('Fréquence (rad/s_RE)')
plt.ylabel('Amplitude')
plt.title('Signature latente de l\'eau (p=0.2)')
plt.xlim(0, 1500)
plt.show()
```

On obtient deux pics d'amplitude réduite. La signature est là, mais l'eau n'est pas formée.

9. Conclusion

Une signature peut exister dans le monde visible sans que la forme morphique correspondante soit apparue : c'est une **signature latente**. Elle peut traverser la frontière entre les deux mondes grâce aux vitesses supraluminiques (gamma(T)) sans atteindre la ligne de démarcation, à condition que la probabilité p(T) soit maintenue en dessous du seuil theta par régulation. Les exemples de l'eau, du Rachidion et de l'El-Aïdium montrent que ces signatures sont déjà théoriquement présentes, même si les molécules ne sont pas encore détectées. Le traitement mathématique repose sur l'équation maîtresse rectifiée avec un terme de régulation qui fixe p(T) à une valeur inférieure au seuil. Ainsi, on peut prévoir l'existence de signatures avant même l'apparition des formes morphiques.

Bibliographie

Travaux de l'auteur :

1. ELAÏDI, R. (2026). "Fondements axiomatiques de l'ERE".
2. ELAÏDI, R. (2026). "Programmes internes et sans-masse".

3. ELAÏDI, R. (2026). "Chocs programmatiques et équation maîtresse".
4. ELAÏDI, R. (2026). "Transitions multidimensionnelles".
5. ELAÏDI, R. (2026). "Chiralité, centre de concordance".

Références externes :
6. Connes, A. (1994). Noncommutative Geometry.
7. ‘t Hooft, G. (2016). The Cellular Automaton Interpretation.
8. Rovelli, C. (2004). Quantum Gravity.
9. Penrose, R. (2004). The Road to Reality.
10. Wolfram, S. (2002). A New Kind of Science.